

## ステップによる孤立波の碎波形式の定量的評価と 支配法則について

安田孝志\*, 榊原幸雄\*\*

## 1. 緒 言

碎波は、渦やラディエーション応力の生成を通して海浜流や漂砂などに大きな影響を及ぼすほか、波力・波圧や越波量を格段に増大させるなど海岸工学的に極めて重要な現象である。こうした碎波の影響は碎波の形態、いわゆる碎波形式に大きく依存するため、単に碎波の有無や碎波限界波高を知るだけでは不十分であり、同時に碎波形式を明らかにし、その予測法を確立する必要がある。

一様斜面上での周期波の碎波形式については、Galvin (1968) や Battjes (1974) による数多くの水理実験結果に基づく分類が現在も広く用いられている。一様斜面上の場合、パラメータが沖波波形勾配  $H_0/L_0$  および海底勾配  $\tan \theta$  のみであり、碎波形式も崩れ波型から巻き波型に連続的に遷移するために相対評価が可能となり、碎波波形データに基づく定量的指標がなくても  $H_0/L_0$  と  $\tan \theta$  の比によって分類ができた。これに対し、任意底面境界上の碎波については、入射波を孤立波とした場合の著者らの一連の研究 (1990, 1991) はあるものの碎波限界自体に対する研究の絶対数が少なく、かつそれぞれ個別に行われており、碎波形式の分類を行うには至っていない。しかしながら、沿岸海域の利用や開発の進展によっては多様な形状を持つ海底断面の出現も予想され、任意底面境界上での碎波形式は今後問題となって来るよう。

そこで、本研究では、非一様斜面としては最も単純なステップに着目する一方、前の波の影響がない孤立波を入射波とすることにより、これまで著者らが用いて来たBIM(1990)によってステップに入射する孤立波の碎波に至る伝播過程の計算を行う。この結果を基に、碎波限界波形を調べ、碎波形式を定量的に評価するための指標を見い出すとともに、その支配式を導き、ステップ上の孤立波の碎波形式に対する定量的分類法を確立したい。

## 2. 計算手法と条件

磁波形式の分類を定量的に行うには、磁波時の空間波

形データが必須となる。ここで用いる BIM によれば、碎波限界の瞬間（前述の著者らの一連の研究では、波頂前面が鉛直に突っ立ち、巻き込みが始まる瞬間と定義）まで非回転波動の基礎式をほぼ厳密に解くことができるため、得られた碎波限界波形は流体力学的にはほぼ厳密と考えてよい。

計算は、初期波として水深  $h_1$  の一定水深部において波高の定常孤立波を厳密解によって与え、勾配  $\tan \theta$  の法面を持つ高さ  $R$  のステップに入射させ、碎波限界に到達するまで行った。ここで用いる碎波限界自体の定義は、上述の様に相対的なものであり、必ずしも絶対的なものではないが、数ある碎波限界の定義の中では碎波の実態に最も即したものと考えられる。したがって、この点に任意性は残るが、数値解それ自体はほぼ厳密と考えられるので、このときの碎波問題を  $H_1/h_1$ ,  $R/h_1$  および  $\tan \theta$  のみの関係で扱うことが可能となる。

計算は、 $\cot \theta = 0, 1, 5, 10$ ,  $R/h_1 = 0.2, 0.3, 0.4, 0.57$ ,  $H_1/h_1 = 0.22 \sim 0.70$  と変化させ、これらを組み合わせた 61 通りの場合について行った。

### 3. ステップ上の孤立波の碎波形式

### 3.1 碎波形式指標

碎波形式の分類は碎波時の空間波形 $\psi$ を基に行われており、波頂部が局所的に巻き込まれる碎波は崩れ波型、波峯全体の前傾に伴って波頂部が大きく巻き込まれて行く碎波は巻き波型と一般に分類されている。このような分類を定量的に行うため、著者らは碎波形式指標 $\beta_4$ （安田ら、1990）

$$\beta_4 = -\frac{1}{2B} \int_{-B}^B \eta_x dx = \frac{\eta(-B) - \eta(B)}{2B} \dots\dots (1)$$

を定義した。ここに、 $B$  は波頂を中心とした波峯幅であり、孤立波の静水面上の峯高を  $\eta_0$  としたとき、波峯前面の水位が  $0.2\eta_0$  の高さを切る点から波頂直下までの水平距離として定義される。

この  $\beta_4$  が碎波形式の適切な指標となることは、一様斜面上の孤立波の支配パラメータ  $\xi_3$  との間に回帰式

$$\beta_4 = 6.92 \xi_S^{1.11} + 0.0477, \quad \xi_S = \tan \theta / (H_1/h_1)^{0.4}$$

\* 正会員 工博 岐阜大学教授 工学部土木工学科

\*\* 正会員 工博 取革大學教授 工學部土木工学科  
\*\* 正会員 工修 豊田工業高等専門学校助手 土木工学科

に従う関係があることによって明らかとなっている。

すなわち、 $\xi s$  が碎波形式の支配パラメータとなることは Papanicolaou・Raichlen (1988) の実験結果を用いて明らかにされており、その  $\xi s$  が  $\beta_4$  との間に式(2)の関係を有していることから、 $\beta_4$  は  $\xi s$  によって支配される碎波形式の指標になる。この結果、碎波形式と  $\beta_4$  の関係が次の様に導かれる(安田ら、1990)。

なお、ここでの  $\beta_4$  の値は碎波限界時の波形に対するものであり、碎波形式が明瞭になった段階におけるものではない。しかしながら、水深変化による碎波は入射波と底面境界条件のみで決まる決定系であり、碎波限界時の  $\beta_4$  の値とその後の波形が一義的に対応している（安田ら、1990）ことから、碎波形式は式（3）における分類に従うと考えてよい。

ところで、 $\zeta_s$  はあくまで一樣斜面の孤立波に対するものであるが、 $\beta_s$  にはそのような適用上の制約はなく、任意の碎波限界波形に適用できると考えられる。また、碎波限界波形に何らかの普遍性が存在するというのであれば、碎波の原因が水深変化によるものである限り、一樣あるいは非一樣斜面を問わず  $\beta_s$  によって碎波形式を統一的に表示できるはずである。

表-1は、一様斜面およびステップ上の碎波の中で碎波限界波形の $\beta_4$ の値が近いケースを選び、これらの入射波および底面境界条件と $\beta_4$ の値を示したものである。また、図-1はこのときの波形の比較を示す。Run1以外は初期波高が一致していないため、碎波限界波高にも差異が生じているが、波形自体はほぼ相似形を有している。このため、初期波高が一致していないとも、 $\beta_4$ によって波形を捉える限り、一様斜面とステップ上の碎波の間に差異が生じていない。このことは、 $\beta_4$ が単に底面境界だけでなく、入射波高にも依らない普遍性を持った指標であることを示している。したがって、 $\beta_4$ を用いれば、波高の大小に関係なく、ステップに入射する孤立立波の碎波形式を統一的に評価できることになる。

表-1 碎波限界波形がほぼ相似となる孤立波および底面境界の条件

Run	海底形状	$H_i/h_t$	$\tan\theta$	$R/h_t$	$\beta_4$
1	スロープ	0.5	1/30		0.282
	矩形ステップ	0.5	$\infty$	0.525	0.278
2	スロープ	0.5	1/30		0.282
	傾斜ステップ	0.4	1/5	0.57	0.274
3	スロープ	0.5	1/100		0.115
	傾斜ステップ	0.41	1	0.40	0.114

### 3.2 破波波形の定量的評価

式(1)で定義された  $\beta_4$  は、前述の Papanicolaou・Raichlen による碎波形式の分類結果を基にして、スロープ上の碎波形式の分類を定量的に行うために定義されたものであるが、ステップ上の碎波に対しても用いることができる。このことをここで行った 61 ケースの計算結果を用いて確認するため、図-2 に代表的な碎波限界波形とその  $\beta_4$  の値を示す。この図から、 $\beta_4$  の値が増大するにしたがって確かに碎波限界時の波形の前傾も強くなつて行く様子が分かる。そして、上述の式(3)に示した  $\beta_4$  による碎波形式の分類結果と対応すれば、 $\beta_4$  の値が 0.17 を越える図-2 の (d) および (e) は巻き波型碎波と分類される。これらに対し、 $\beta_4$  の値が 0.12 以下となる図-2 の (a) および (b) は崩れ波型碎波と分類されるが、上述の (d) および (e) の波形と比べればこのことは明瞭である。

#### 4. 碎波形式の支配パラメータと定式化

斜面上の孤立波の碎波の場合、支配パラメータ  $\xi s$  と碎波形式指標  $\beta_4$ との間に前述の回帰式(2)に従う関係がある。ステップ上の碎波の場合についても、このときの支配パラメータ  $\xi s^* = (R/h_1)/(H_1/h_1)^{0.4}$  と碎波形式

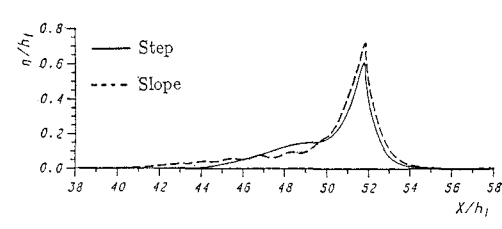
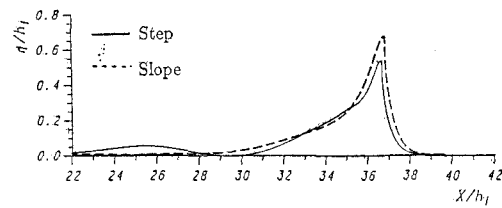
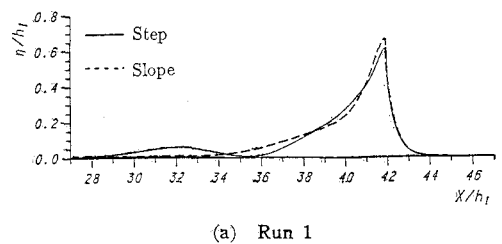


図-1 一様斜面およびステップ上の砂波限界波形の比較

指標  $\beta_4$  との間に同様な関係があれば、 $\beta_4$  によって表わされる碎波形式を  $\xi s^*$  の関数として定式化できることになる。この点を明らかにするために、図-3に  $\beta_4$  と  $\xi s^*$  の関係を示す。図中の○、△および+印は、それぞれ法面勾配  $\tan \theta$  が 1, 1/5 および 1/10 のものを示す。これから、 $\beta_4$  と  $\xi s^*$  の間には斜面上の碎波におけるよ

うな一義的対応は認められず、 $\xi s^*$  は碎波限界波高などの支配パラメータとはなり得ても、碎波形式の支配パラメータとはなり得ないことが分かる。

そこで、ステップの高さ  $R/h_1$  が 0.2, 0.4 および 0.57 となるケースを対象とし、それぞれの高さごとに  $\beta_4$  と  $H_1/h_1$  の関係について調べることにした。図-4はその結果を示し、図中の記号は図-3におけるものと同じであるが、矩形ステップのものを×印として加え、ステップの法面勾配をそれぞれ区別している。また、図中の実線は全て同一の回帰式

$$\beta_4 = [1.567(R/h_1)^{1.812} + 0.160] \sqrt{(H_1^2 - H_0^2)/h_1^2}, \quad \dots \dots \dots \quad (4)$$

によるものである。ここで、 $H_0/h_1$  は次式（安田ら、1991）

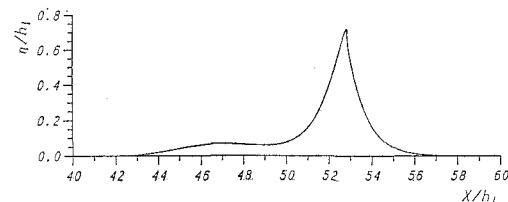
$$H_0/h_1 = 1.012 - 1.063(R/h_1)^{0.46} \dots \dots \dots \quad (5)$$

で与えられるステップに対する臨界入射波高であり、 $H_1/h_1$  が  $H_0/h_1$  を下回れば、入射波は碎波せずに透過する。これより、入射波がステップ上で碎波する条件は

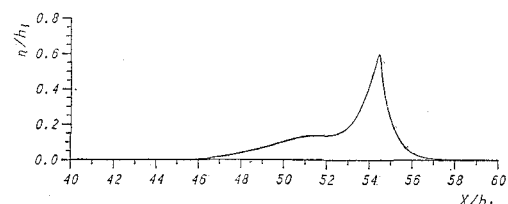
$$H_1/h_1 \geq H_0/h_1 \dots \dots \dots \quad (6)$$

となる。いずれの場合もシミュレーション結果と回帰式の対応は良く、ステップの高さを一定とした場合、ステップの法面角度に関係なく  $\beta_4$  は入射波高  $H_1/h_1$  のみで決まると言ってよい。したがって、ステップの碎波形式は  $H_1/h_1$  および  $R/h_1$  のみに支配されており、 $\beta_4$  は回帰式(4)を通して  $H_1/h_1$  および  $R/h_1$  と結び付いていると言える。図-5は、式(4)の左辺を  $\hat{\beta}_4$  と置き、これと碎波限界波形より式(1)によって計算される  $\beta_4$  との関係をここで行った全計算例について示したものである。図中の実線は  $\hat{\beta}_4 = \beta_4$  によるものであり、全ての結果がほぼこの実線上に分布していることが分かる。したがって、式(4)によって  $\hat{\beta}_4$  の値を  $H_1/h_1$  および  $R/h_1$  より計算すれば、 $\beta_4 = \hat{\beta}_4$  と置く事によって直ちに碎波形式の推定が可能となる。

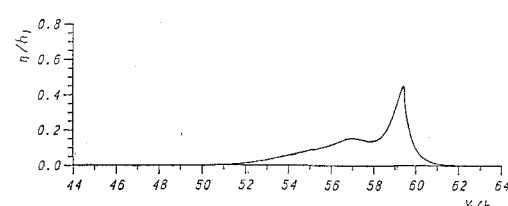
さらに、前述の Papanicolaou・Raichlen の実験結果を基に導かれた式(3)の  $\beta_4$  による碎波形式の区分に式



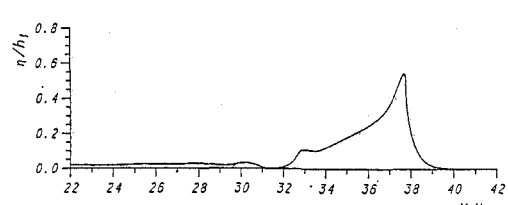
(a)  $\tan \theta = 1, R/h_1 = 0.20, H_1/h_1 = 0.51, \beta_4 = 0.043$



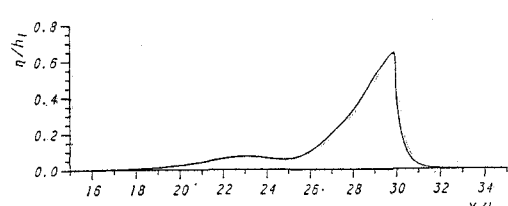
(b)  $\tan \theta = 1/5, R/h_1 = 0.40, H_1/h_1 = 0.39, \beta_4 = 0.101$



(c)  $\tan \theta = 1/5, R/h_1 = 0.57, H_1/h_1 = 0.26, \beta_4 = 0.139$



(d)  $\tan \theta = 1/10, R/h_1 = 0.57, H_1/h_1 = 0.40, \beta_4 = 0.252$



(e)  $\tan \theta = 1, R/h_1 = 0.57, H_1/h_1 = 0.60, \beta_4 = 0.412$

図-2 ステップ上の孤立波の碎波限界波形と  $\beta_4$  の値

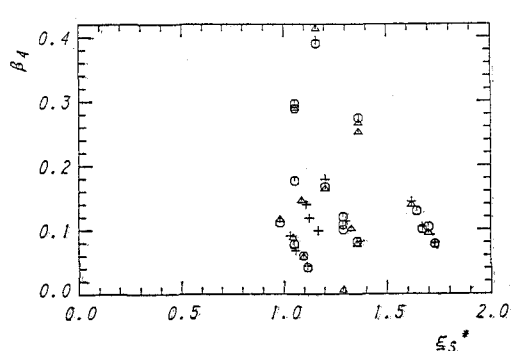


図-3 パラメータ  $\xi s^*$  と碎波形式指標  $\beta_4$  の関係

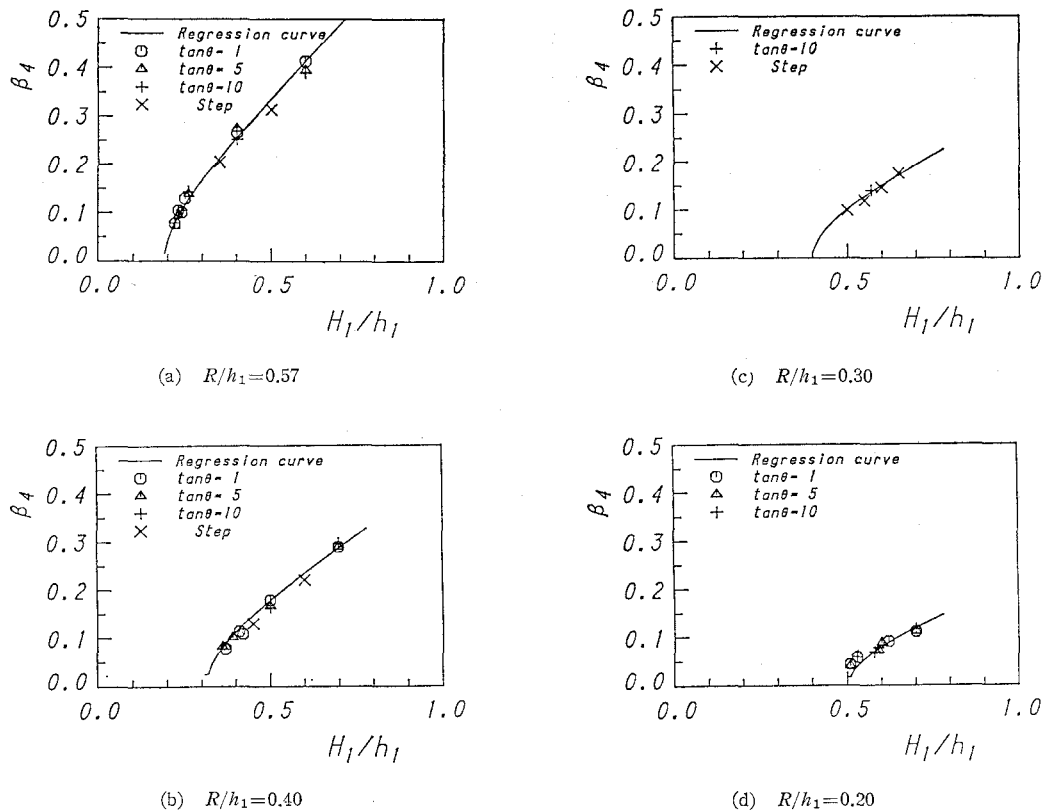
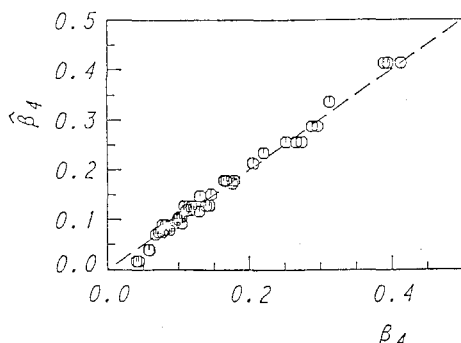
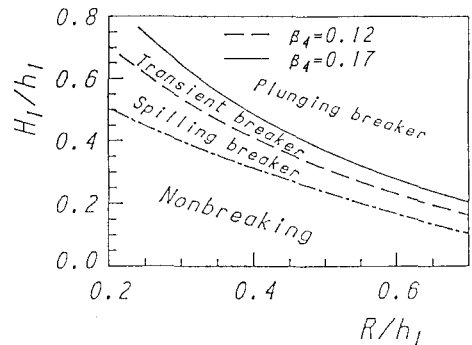
図-4 破波形式指標  $\beta_4$  と入射波高  $H_1/h_1$  よりステップ法面勾配  $\tan \theta$  との関係図-5 ステップ上の碎波限界波形による  $\beta_4$  と回帰式による  $\beta_4^*$  との関係

図-6 ステップによる孤立波の碎波に対する碎波形式区分

(4) を代入し、これを不等式として解けば、巻き波型および崩れ波型の領域が  $H_1/h_1$  および  $R/h_1$  に関する決定できる。図-6 はその結果を式(5)によって計算される非碎波領域とともに示したものであり、これはこの種のものとしてはこれまで唯一のものであった一様斜面上での周期波の碎波形式の区分図に相当する。これによ

って、ステップによる碎波形式についても一様斜面上の場合と同様な区分図による分類が可能となり、非碎波および碎波の場合の碎波形式の区分が簡便に行えるようになる。

## 5. 結 語

BIM を用いた数値シミュレーションによってステッ

ブに入射する孤立波の碎波限界波形を調べ、このときの碎波形式が指標  $\beta_4$  によって定量的に評価でき、 $\beta_4$  が入射波高や底面境界によらない普遍的な碎波形式指標となることを示した。さらに、この碎波形式指標  $\beta_4$  がステップ前面の法面勾配に無関係に入射波条件  $H_1/h_1$  およびステップ条件  $R/h_1$  のみの関数として定式化できることを示すとともに、これを用いることによって、これまで一様斜面上以外ではほとんど不明であった碎波形式に対し、ステップという限られた底面境界の下ではあるが、碎波形式の定量的分類および予測が可能になることを示した。

最後に、本研究での数値計算に対してご協力を頂いたタキヒヨー株式会社の松原正典氏（当時、本学4年生）に深謝するとともに、本研究が文部省科学研究費一般B(04452233) および（財）中部電力基礎技術研究所研究助成による成果であることを付記し、謝意を表す。

## 参考文献

- 安田孝志・原 正典・榎原幸雄(1990): 水深変化による碎波の支配パラメタと碎波形式について、海岸工学論文集、第37卷, pp. 61-65.
- 安田孝志・原 正典・榎原幸雄(1991): BIM を用いたステップによる孤立波の碎波を伴う変形とその法則、土木学会論文集、No. 429/II-15, pp. 74-83.
- Battjes, J. A. (1974): Surf similarity, Proc. 14th ICCE, pp. 466-480.
- Galvin, C.(1968): Breaker type classification on three laboratory beaches, J. Geophys. Res., Vol. 73, pp. 3651-3659.
- Papanicolaou, P. and F. Raichlen (1988): Wave and bubble characteristics in the surf zone, in Sea Surface Sound (Ed. B. R. Kerman, Kluwer Academic Pub.), pp. 97-109.
- Yasuda, T., M. Hara and M. Tanaka (1990): A computational method of the deformation including overturning of a solitary wave over a submerged obstacle, in Numerical Methods in Fluid Dynamics II (Eds. M. Yasuhara et al., JSCFD), pp. 919-924.